

-20097

DOCUMENTACION COMPLEMENTARIA

FOTOGRAFIAS

HOJA 07-07 (97)

GUNTIN

Potente lentejon de naturaleza pegmatica ó pegmatítoide, relacionado con el granito de dos micas de el Picato, inyectado en los esquistos de "Villalba"

B33H-21 Estación AH-3008





Pliocuaternario de Guntín—Sta. Eugea. Alternan capas
arcillo-arenosas, azuladas, con horizontes detriticos gro-
seros, formados por cantos de cuarcita y cuarzo
B33H-22A. Estación AH-3017

Granitos de dos micas con venillas pegmatoides de cuarzo y turmalina de origen tardío.

B34H-2A Estación AH-3083



Bloque de cuarzo escamoso producto hidro-
termal de algunos de los diques postumos del
granito de 2 micas de este sector.

B34H-91. Estación AH-3132





Bloques de cuarzo hidrotermal con aspecto externo escamoso y estructura interna de tipo ágata. Proceden probablemente de díques postumos, encajados en el granito de dos micas.

B34H-8A.

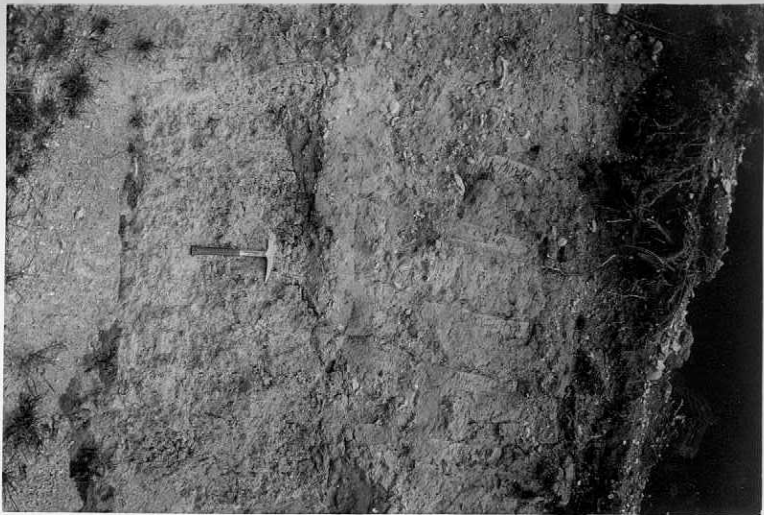
Estación AH-3132



Cuarcitas de Vigo. Estación AH-3198
1-PD-21A



Cuarcitas de Vigo. Estación AH-3198
1-PD-20A



Diversos aspectos del terciario de Lousada B34H-23A y
B34H-24A Estación AH-3283





Terciario de Lousada. Captación de acuíferos someros
 contenidos en esta formación B34H-25A
 Estación AH-3284



Bolos erráticos de cuarcitas y/o cuarzo lechososo de la
pliocuaternaria de Allariz—Moreiras
B34H—26A. Estación AH—3288



Detalle del material granular que se explota en el aluvial del Miño en San Andres de la Rivera.

B34H-29A. Estación AH-3327



Terrazo del Miño. Gravas, arenas, cuarcitas con abuante fracción fina de naturaleza micacea B34H-27A y
B34H-28A Estación AH-3331



Aspecto de la formación pliocuaternaria
de el paramo. La capa granular infraya-
cente es asiento de un pequeño acuífero
B34H-30A. Estación AH-3334



Granodioritas tardía de Piñeiro (Angulo SE de la Hoja), observense la irregular distribución de los megacristales de feldespato potásico.

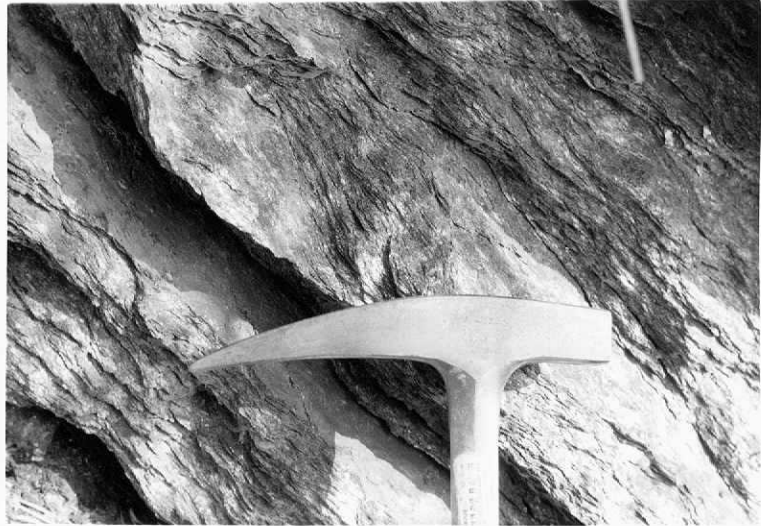
B34H-31A

Estación AH-3339



Esquistos de "Alba" en la Cra. de Gimarey N20E 38W de esquistosidad B34H-10A y B34H-11A
Estación AH-3148

Detalla de la fotografía anterior





Pliques de fase 3 de plano axial subhorizontal en las proximidades de la falla de Guntín en los esquistos siúricos.

Neg. 2AI-17A

Estación AH-3550

Pliegues de fase 3 en los esquistos silúricos
de la zona Nespereira-Guntín.
Neg. 2AI-27A Estación AH-3551





Diclasado en las leucogranodioritas ($\frac{d}{2} \gamma^2$) SA. Diclasado normal
SB; Diclasado paralelo 1 la superficie por las condiciones de enfriamiento.

Negativo 1-PD-4A

Estación PD-4300

PC § al N. de Cernada N 170, 70 W
Neg. 1-PD-6A Estación PD-4301





Micropliegue F2 en gneis glandular de grano grueso
(PC ζ)

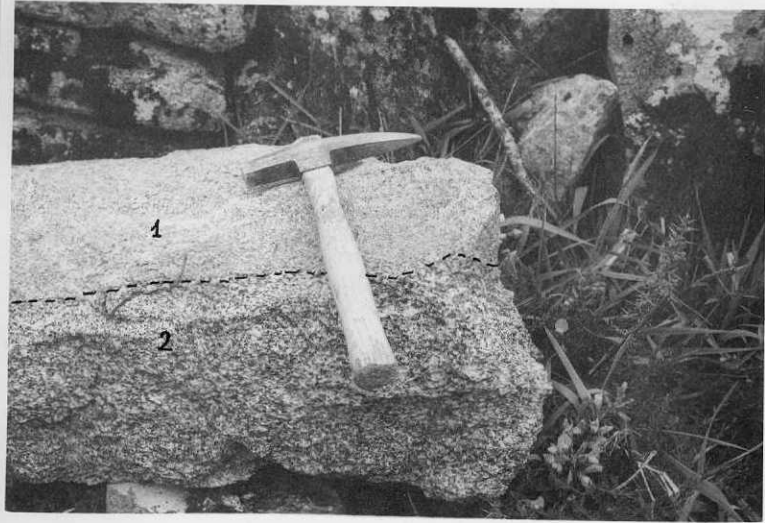
Neg. 1-PD-13 A

Estación PD-4302



Orientación de flujo de los magacristales de
feldespato en la granodiorita precoz

Neg. 1-PD-8A Estación PD-4303



Contacto entre franodiorita (2) y Leucodiorita (1) en el
mazizo de Chantada—Taboada.

Neg. 1—PD—17A

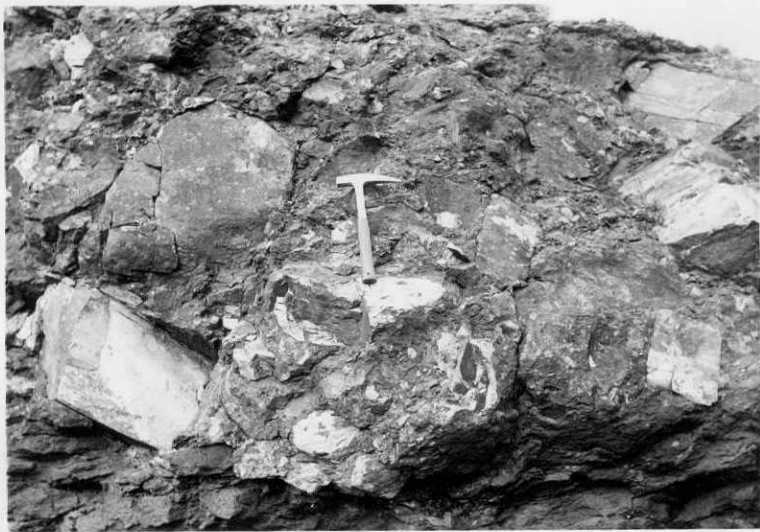
Estación PD—4304



Pliegue de Fase 2 en leucogranodioritas prefase 2
Neg. 1-PD-11A Estación PD-4305



Conglomerado de cantes de cuarcita y cemento ferruginoso
en la formación T_{c2}^B -Q1
Neg. 3-PD-3 Estación PD-4306



Conglomerado de cantes de cuarcita y cemento ferruginoso
en la formación T_{c2}^B -Q1
Neg. 3-PD-4 Estación PD-4306

Micropliegues de plano axial horizontal en las proximidades del
gran cabalgamiento de Guntín.
Neg. 3-PD-6 Estación PD-4307





Micropliegues de plano axial horizontal en los esquistos grafitosos (5)
Neg. 3-PD-5 Estación PD-4307



Piegues de plano axial subhorizontal (F3)
en los esquistos grafitosos (S)
Neg. 3-PD-36

Pliegues de plano axial subhorizontal (F3)
en los esquistos grafitosos (S)
Neg. 3-PD-35 Estación 4308





Esquistosidad subhorizontal desarrollada en los esquistos
grafíticos (S) en las proximidades de Guntín
Neg. 3-PD-7 Estación PD-4308



Pliegues de plano axial subhorizontal (F3) en
los esquistos grafitosos (S)
Neg. 3-PD-37 Estación PD-4308



Desarrollo de dos esquistosidades crenuladas en los
esquistos de la serie de Luarca (O₂-3)
Neg. 3-PD-38 Estación PD-4309